

-26-

ПРИНЦИПЫ ФОРМИРОВАНИЯ ЭНЕРГОЭФФЕКТИВНЫХ МОДУЛЕЙ И СВЕТОПРОПУСКАЮЩИХ КОНСТРУКЦИЙ СЕЛЬСКОХОЗЯЙСТВЕННЫХ ЗДАНИЙ/СХЗ/

М. Т. ГЛИКМАН/ОГАСА, ОДЕССА, УКРАИНА/

Формирование здания осуществляется с учетом взаимосвязи его пространственно-конструктивной оболочки с внутренним режимом и технологией/внутренняя среда/ и внешними природно-климатическими воздействиями/внешняя среда/. Регулирующая роль здания-обеспечение определенной степени укрытия, создающей комфортные условия при неблагоприятном сочетании для технологии внешних факторов/внешний дискомфорт/ и одновременном стремлении к максимальному использованию благоприятных возможностей природных ресурсов и среды [1,2,3,4].

С учетом приоритетной на сегодня установки на максимальное энергоресурсосбережение и экологическую чистоту в работе рассматривается концепция формирования в поле солнечной радиации энергоэффективных СХЗ на примере наиболее светоактивных из них теплоизолируемых сооружений, представляемых в виде самостоятельных, пристроенных и встроенных модулей с различными конструкциями светопропускающих ограждений и устройств.

Концепция строится на прогнозировании и оптимизации пространственно-ориентированных геометрических, оптических и конструктивных параметров здания в увязке с солнечным климатом во времени/суточный, сезонный и годовой циклы/ и окружающей средой в пространстве/местоположение, ориентация в застройке, выбор и фиксация рабочих поверхностей в интерьере/. Повышение уровня улавливания солнечного излучения на нужды освещения, обогрева или охлаждения здания в зависимости от сезона эксплуатации рассматривается как экологически чистый ресурс и резерв общего энергопотребления, а быстрая окупаемость затрат при сопоставлении вариантов формируемых решений с аналогом/эталоном/- как экономическая эффективность с учетом выхода продукции с единицы рабочей площади. Для сравнения вариантов друг с другом и с аналогом применяется комплексный критерий - коэффициент относительной энергоэффективности $K_{\text{эф}}$, учитывающий показатели световой среды/коэффициенты освещенности рабочей поверхности прямым потоком от Солнца $K_{\text{п}}$, рассеянным от неба $K_{\text{н}}$ и суммарным от Солнца и неба $K_{\text{п}}^{(\text{с+н})}$ и теплозащитные свойства наружных ограждений/термическое сопротивление R_0 / и соотношение площадей светопрозрачных ограждений S_0 и рабочей поверхности $S_{\text{п}}$. Показатели эталона/эт/ при этом отражают регламентируемые нормами достижения на определенном этапе проектирования.

Концептуальная структура формирования энергоэффективных модулей СХЗ показана на прилагаемой схеме, а реализующая ее основные положе-

ния математическая модель в виде 4-х блоков основных формул приведена применительно к теплицам:

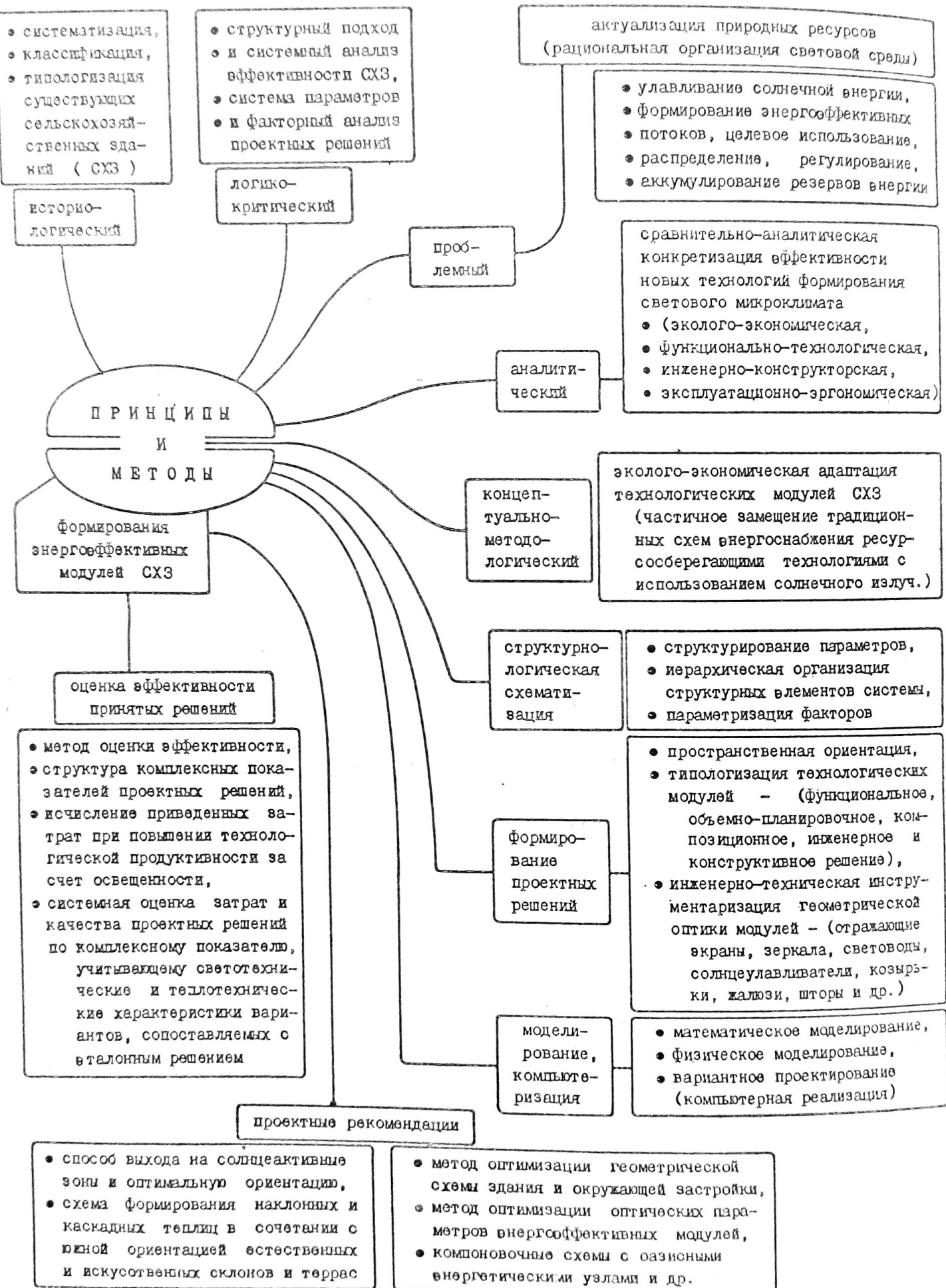
Блок 1 – климатический: характеризует географический район определенной широты Φ с координатами Солнца – высотой h_{\odot} и азимутом Q_{\odot} , интенсивностью Е и дневным количеством солнечной радиации Q в годовом цикле с учетом вероятности ясного и пасмурного неба, оцениваемого коэффициентом облачности N_o .

Блок 2 – пространственно-ориентационный: характеризует форму, углы наклона ограждений к горизонту α , компоновку и ориентацию объемов и ограждений Q_o , увязывая их через проекцию высоты Солнца h_{\odot} в расчетном попечнике, углы падения солнечных лучей β , коэффициенты пропускания прямых T_i и рассеянных излучений T_d , ячейками ограждений, коэффициенты затенения конструкциями K_{3T} и взаимное затенение скатов ангарных K_{3T}^A и блочных K_{3T}^{BL} теплиц в застройке, коэффициенты использования излучений Солнца U^S и неба U^H относительно рабочей поверхности.

Блок 3 – конструктивно-оптический: характеризует конструкцию и габариты затеняющих рабочую поверхность элементов и обрамления ячеек, оптические показатели светопрозрачного заполнения с учетом условий эксплуатации/запыление, соляризация, конденсат/.

Блок 4 – оптимизационный: характеризует сравнительную оценку зданий по вариантам в сопоставлении с аналогом/эталоном/, сравнительную оценку светопропускающих конструкций и солнцерегулирующих средств, систем освещения, инсоляции, солнце- и теплозадиты.

Расчетные схемы наиболее характерных теплиц, на которых опробована предложенная методика, показаны на рис.1, а результаты сопоставления годовых графиков освещенности теплиц различной ориентации и компоновки при горизонтальной и наклонной рабочей поверхности с учетом гипотетического решения "следящей" за Солнцем теплицы/вариант 1/ – на рис.2 для условий южных и центральных широт СНГ, характеризующих условия Украины. Как видно на графиках, кроме гипотетической теплицы, реальные возможности открываются у наклонных теплиц/вариант 2/, высокий режим освещения и инсоляции которых зимой намного превышает режим традиционных ангарных и блочных, одновременно сохраняя теплотехнические и аэрационные показатели зимой и летом. При этом рабочая поверхность и пол сооружения могут быть террасированы как трибуна стадиона, что с учетом применения малообъемной гидропоники создает эффективные условия для формирования каскадных систем с узкими стеллажами, а "подстеллажное пространство" и в целом пространство под наклонной частью пола использовать для размещения складов, шампиньонниц



МАТЕМАТИЧЕСКАЯ МОДЕЛЬ

БЛОК I - климатический

$$E_r^{(0+H)} = E_+^0 \sin h_0 + E_r^H \quad (1)$$

$$Q_r^{(0+H)} = \sum (E_+^0 \sin h_0 + E_r^H) \quad (2)$$

$$Q_\alpha^\odot = \int_{t_1}^{t_2} \frac{\operatorname{sign}(\vec{n}, \vec{c}) + 1}{2} (\vec{n}, \vec{c}) \cdot E_+^\odot dt \quad (3)$$

$$\sin h_0 = \sin \varphi \sin \delta + \cos \varphi \cos \delta \cos \gamma \quad (4)$$

$$\cos \alpha_0 = (\cos \varphi \sin \delta - \sin \varphi \cos \delta \cos \gamma) / \sin h_0$$

$$N_p = \frac{Q_\perp^\odot (n_g + 0,5 n_{ng})}{Q_\lambda^H + Q_{\pi g}^H n_{ng} + Q_{\pi n}^H n_{ng}} \quad (5)$$

$$N_p = \frac{Q_\perp^\odot (n_g + 0,5 n_{ng})}{Q_\lambda^H + Q_{\pi g}^H n_{ng} + Q_{\pi n}^H n_{ng}} \quad (6)$$

БЛОК 2 - пространственно-ориентационный

$$\operatorname{ctg} h'_0 = \operatorname{ctg} h_0 \cos(\alpha_0 - \alpha_0) \quad (7)$$

$$\cos i = \sin h_0 \cos \alpha + \cos h_0 \cos(\alpha_0 - \alpha_0) \sin \alpha \quad (8)$$

$$K_\pi^\odot = (1 - K_{3T}) \frac{S_0}{S_\pi} \cdot \sum T_i \cos i \cdot U^\odot \quad (9)$$

$$K_\pi^{(0+H)} = \frac{N_0 \cdot K_\pi^\odot + K_\pi^H}{N_0 \cdot \sin h_0^{\odot} + 1} \quad (11)$$

$$K_{3T}^{B^A} = 0,5 (\operatorname{ctg} \alpha \cdot \operatorname{ctg} h'_0 - 1) \quad (12) \quad U^{0+H} = 1 - K_{3T}^{B^A} (1 - T_{in}) \quad (93)$$

$$K_{3T}^A = 0,5 \operatorname{tg} \alpha \cdot \operatorname{ctg} h'_0 - (K + 0,5) \quad (14) \quad U^{0+H} = 1 - K_{3T}^A (1 - T_{in}) \quad (15)$$

$$U^H = 1 - f_\alpha (1 - T_{in}) \quad (16) \quad Q_{\pi p}^\odot = \frac{\sum Q_\alpha^\odot S_0 \cdot T_i}{\sum S_0} (1 - K_{3T}) U^\odot \quad (17)$$

БЛОК 3 - конструктивно-оптический

$$K_{3T}^{xy} = \frac{n e (B + 1,4 h - \Delta B)}{S_0} \quad (18) \quad K_{2T}^{3A} = \frac{n l (B + 1,4 h - \Delta B) \cos \alpha}{T B (L + 2 H \cdot \cos \alpha)} \quad (19)$$

$$T_i = \left(1 - \frac{2B' + h' \operatorname{ctg} h'^{(M)}}{e'}\right) \cdot \left(1 - \frac{2B'' + h'' \operatorname{ctg} h'^{(M)}}{e''}\right) \cdot T_{ci} T_{si} T_{3A} \quad (20)$$

$$T_A = \frac{T_{20^\circ} + T_{45^\circ} + T_{70^\circ}}{3} \quad (21)$$

БЛОК 4 - оптимизационный : сравнение вариантов

$$K_{\mathcal{R}\Phi}^{x,y} = \frac{K_n^B \cdot R_o^B \cdot S_0^{\mathcal{R}T}}{K_\pi^{\mathcal{R}T} \cdot R_o^{\mathcal{R}T} \cdot S_0^B} \uparrow \quad (22) \quad K_{\mathcal{R}\Phi}^* = \frac{K_n^B \cdot R_o^{\mathcal{R}T} \cdot S_0^{\mathcal{R}T}}{K_\pi^{\mathcal{R}T} \cdot R_o^B \cdot S_0^B} \downarrow \quad (23)$$

$$K_{\mathcal{R}\Phi}^{xy} = \frac{T_o^B \cdot R_o^B}{T_o^{\mathcal{R}T} \cdot R_o^{\mathcal{R}T}} \quad (24) \quad K_n^B \geq K_n^{\min}; R_o^B \geq R_o^{\min}$$

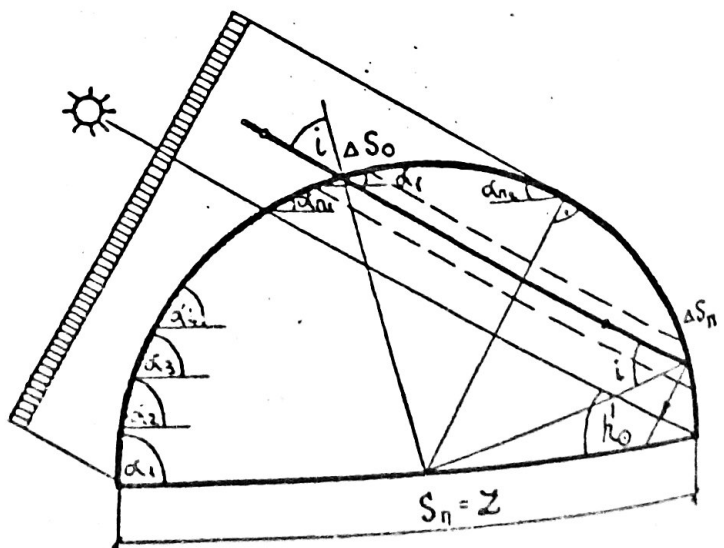
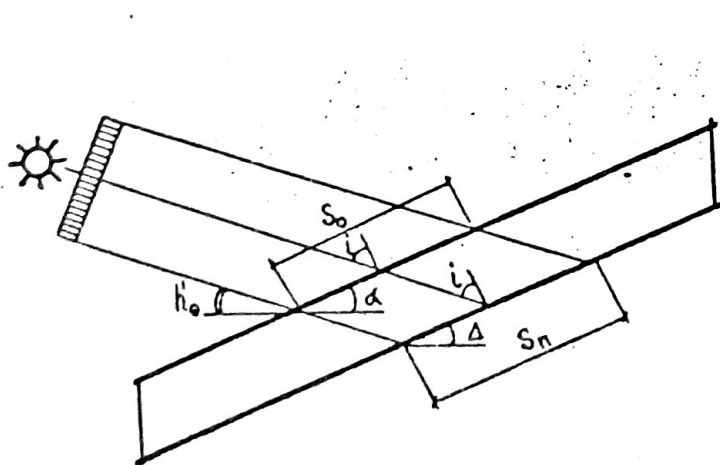
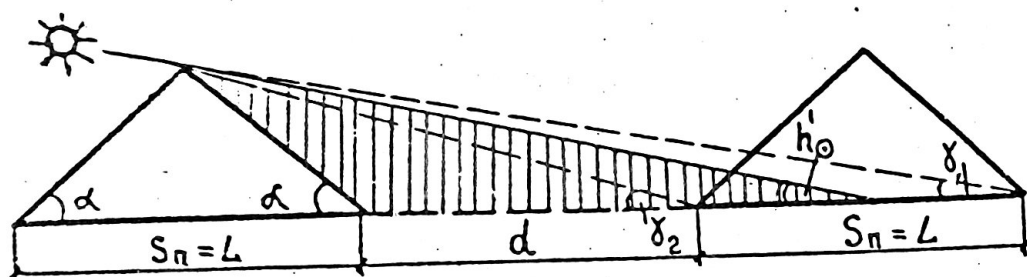
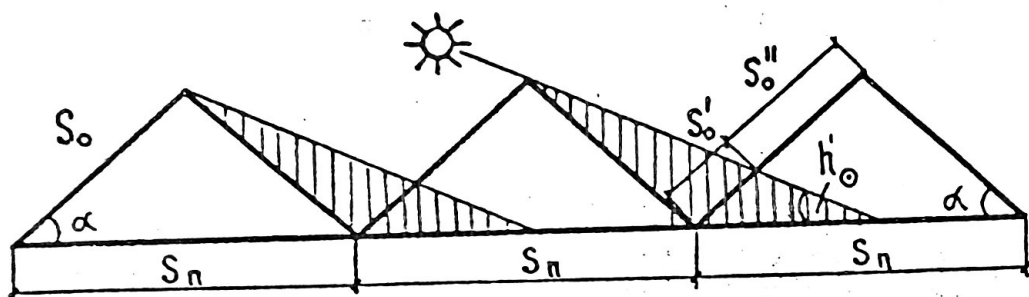
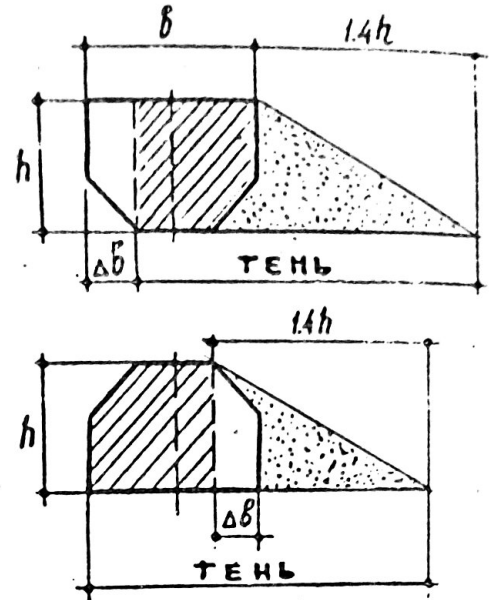
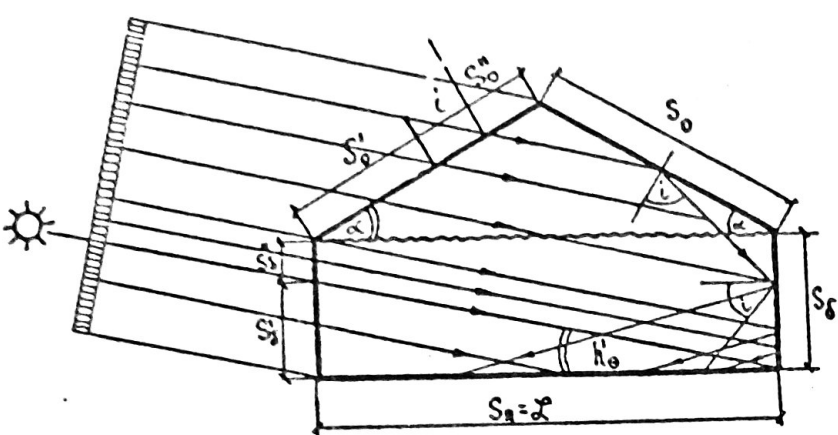


Рис. I. Расчетные схемы теплиц.

гаражей и подсобных помещений, тяготеющих к энергетическим системам. Потенциальные возможности наклонных каскадных теплиц, предложенных еще в наших ранних работах [3], практически неисчерпаемы, но главное назначение их сегодня мы видим в создании оазисных энергетических узлов в системе застройки, улавливающих, концентрирующих и передающих энергию Солнца всему комплексу, работающему с ними, одновременно обеспечивая наилучшие условия для разведения и выращивания светолюбивых растений, вплоть до экзотических, с минимальными расходами дополнительной энергии. Полученный на основе предложенной концепции банк данных используется для разработки и реализации эффективных решений теплиц и светопропускающих ограждений других СХЗ, что нашло отражение в практике проектирования и строительства [3,4].

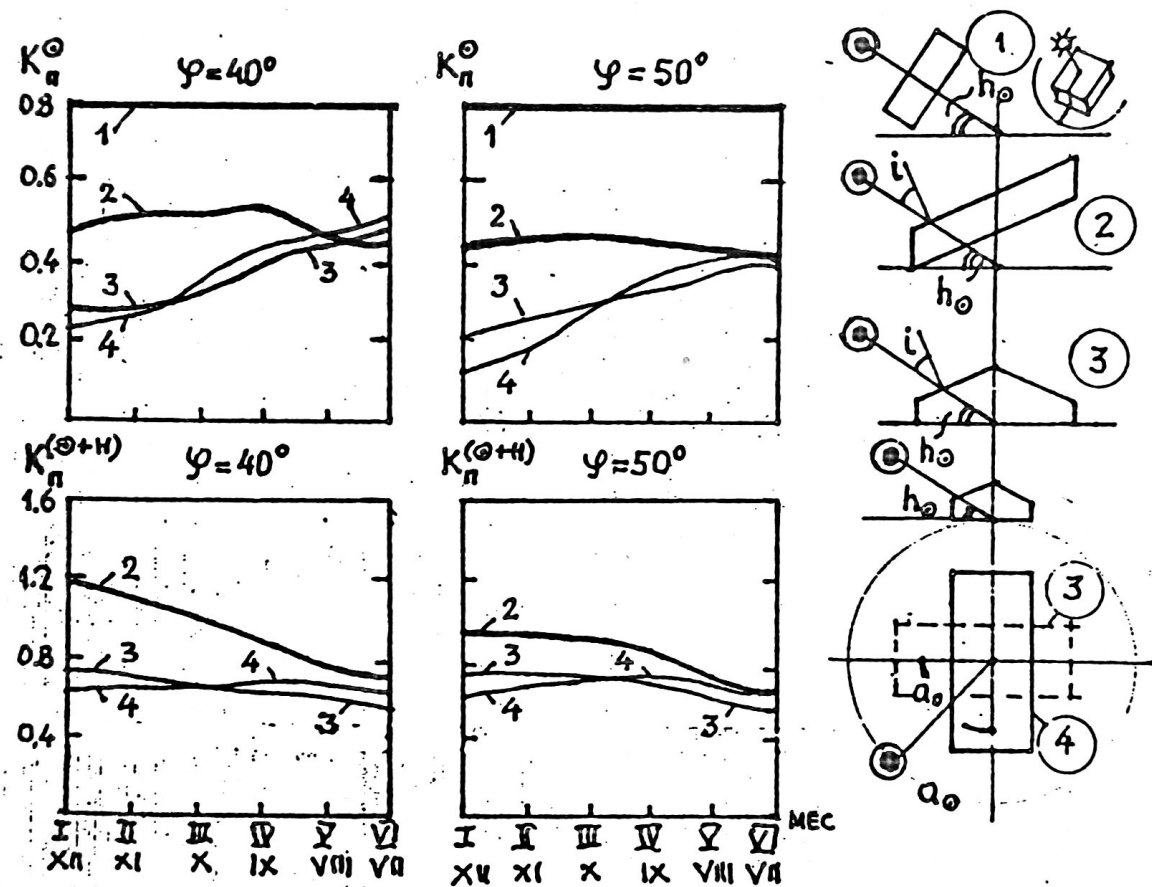


Рис.2. Коэффициенты прямой и суммарной освещенности теплиц

Литература

1. Энергоактивные здания / Под ред. Э. В. Сарнацкого и Н. П. Селиванова. - М.: Стройиздат, 1988. - 376 с.
2. Оболенский Н. В. Архитектура и солнце. - М.: Стройиздат, 1988. - 207 с.
3. Гусев Н. М., Гликман М. Т., Хавалджи Г. И. Световая среда в сельскохозяйственных зданиях и сооружениях. - М.: Стройиздат, 1981. - 188 с.
4. Гликман М. Т., Кошлатий О. Б., Вітвицька С. В. Основи буї івельної фізики сільських споруд. - К.: Урожай, 1995. - 224 с.